

ARTIGO / ARTÍCULO / ARTICLE

Nueva aportación al conocimiento de los Ptinidae (Coleoptera) de la Península Ibérica e Islas Canarias, con la descripción de un nuevo *Stagetus* Wollaston, 1861 de Navarra.

Amador Viñolas

Museu de Ciències Naturals de Barcelona. Laboratori de Natura. Col·lecció d'Artròpodes.
Passeig Picasso, s/n. E-08003 Barcelona. e-mail: av.rodama@gmail.com

Resumen: Se describe una nueva especie de Dorcatominae del género *Stagetus* Wollaston, 1861 de Iriso (Navarra), muy bien caracterizada por la conformación del lóbulo medio del edeago y por diferentes caracteres externos. Se da una nueva cita para la Península Ibérica del Ernobiinae *Ernobius nigrinus* (Sturm, 1837), de la misma localidad que la especie anterior. Se cita por primera vez el Ernobiinae *Ozognathus cornutus* (LeConte, 1859) de las Islas Canarias. De todas las especies tratadas se acompaña el habitus y representación gráfica del edeago, más las antenas del macho de dos de ellas y el abdomen y último artejo de los palpos maxilares y labiales de la especie nueva. También se comenta su biología y distribución.

Palabras clave: Coleoptera, Ptinidae, nuevos registros, *Stagetus recaldei* n. sp., Islas Canarias, Navarra, Península Ibérica.

Abstract: New contribution to the knowledge of the Ptinidae (Coleoptera) of the Iberian Peninsula and Canary Islands, with the description of a new *Stagetus* Wollaston, 1861 from Navarra. A new species of Dorcatominae within the genus *Stagetus* Wollaston, 1861 from Iriso (Navarre) is described, very well characterized by the structure of the middle lobe of the aedeagus and by different external characters. A new record for the Iberian Peninsula of the Ernobiinae *Ernobius nigrinus* (Sturm, 1837), from the same locality as the previous species, is given. The Ernobiinae *Ozognathus cornutus* (LeConte, 1859) is recorded for the first time from the Canary Islands. Of all the species concerned the habitus and figure of aedeagus is represented, and also the male antennae of two of them and the last segment of the maxilar and labial palpi of the new species. Its biology and distribution are also discussed.

Key words: Coleoptera, Ptinidae, new records, *Stagetus recaldei* n. sp., Canary Islands, Navarra, Iberian Peninsula.

Recibido: 25 de septiembre de 2017

Aceptado: 4 de octubre de 2017

Publicado on-line: 18 de octubre de 2017

urn:lsid:zoobank.org:pub:E45C4EF7-9A5F-4B2B-B421-F59B9EFE5ED8

Introducción

En el año 2014 se realizó un muestreo en la Sierra de Gongolaz (Iriso, Navarra) (Mapa 1) para el conocimiento de la fauna de coleópteros saproxílicos existente en la zona. Las recolecciones se efectuaron mediante trampas de vuelo monopanel, interceptación de vuelo de paneles cruzados y multiembudo, que se mantuvieron activas durante los meses de mayo a octubre, instaladas en una área con robles muy viejos y dispersos entremezclados mayoritariamente con *Juniperus comunis* L. y *Buxus sempervirens* L. y con la presencia de un rodal de pino repoblado en el extremo norte (Outerelo et al., 2016). El área muestreada se sitúa entre los 675 y 750 m de altitud.

Entre todos los especímenes recolectados destacaron dos especies por diferentes motivos y son tratadas en el presente trabajo: una perteneciente al género *Ernobius* C.G. Thomson, 1859, de amplia distribución europea pero con un número muy limitado de citas ibéricas, y otra al género *Stagetus* Wollaston, 1861, que es una nueva e interesante especie para la ciencia y que amplía el numeroso contenido específico del género en el área peninsular. Otra interesante especie fue capturada en los

bosques de Isaba (Navarra) perteneciente al género *Episernus* C.G. Thomson, 1863 y que será tratada en la revisión de la subfamilia Ernobiinae de la Península Ibérica e Islas Baleares en curso de publicación.

Tanto de *Ernobius* como de *Stagetus* se representan los habitus, antenas, edeagos, etc. y piezas comparativas para la diagnosis de la nueva especie, se comenta su distribución y biología. También se adjunta una clave modificada de las especies ibéricas del género *Stagetus* pertenecientes al grupo de *S. byrrhoides* (Mulsant & Rey, 1861), especies con el calo humeral bien indicado.

De las recolecciones efectuadas en La Palma (Islas Canarias) para el conocimiento de los heterópteros de las islas se capturaron también algunos coleópteros como *Ozognathus cornutus* (LeConte, 1859), que representa la primera cita para el área. De dicha especie se comenta su distribución mundial y biología, acompañado con la representación del edeago y detalles de la curiosa cabeza del macho.

Material y métodos

El material estudiado procede de las recolecciones efectuadas mediante trampas *Pan-window* (de ventana monopanel) con líquido atrayente/conservante en la Sierra de Gongolaz, Iriso, Navarra, y del batido de vegetación en el Barranco de las Angustias, Puerto de Tzacorte, La Palma, Islas Canarias.

Para el estudio de los ejemplares se procedió a la extracción del edeago, el cual, tras tratamiento de limpieza y extracción del aire, se montó en preparación microscópica sobre una lámina de estireno transparente, de la marca Evergreen®, con líquido DMHF. Todos los ejemplares se montaron en seco sobre etiquetas entomológicas. Las fotografías se realizaron con una cámara Canon® modelo EOS 760D, con objetivo de microscopía y por el método de capas, con tratamiento de las imágenes mediante el programa Zerene Stacker®. Los dibujos se realizaron con el programa de Adobe® Illustrator CS5, con la obtención de archivos PostScript® 3™. El mapa se obtuvo mediante el programa Google Earth.

Resultados

Stagetus recaldei n. sp.

Diagnosis. La presencia de calo humeral sitúa la especie en el grupo de *Stagetus byrrhoides* (Mulsant & Rey, 1861) (Español, 1969). La conformación externa del cuerpo, contorno, antenas, color, etc., la colocan en el grupo de *S. elongatus* (Mulsant & Rey, 1861), cerca de *S. micoae* Viñolas, 2011 y de *S. albarracinus* Viñolas, 2016, por las antenas, el punteado pronotal, los élitros, etc. (Viñolas, 2013, 2016a, b). Aunque los caracteres externos la aproximan a *S. albarracinus*, se diferencia claramente de ésta por pequeños caracteres externos, tales como la explanación de los márgenes pronotales, el punteado del protórax mucho más denso, los húmeros, los intervalos elitrales convexos, etc., pero sobre todo la conformación del lóbulo medio del edeago, muy complejo y característico en *S. recaldei* n. sp. (Fig. 3a) y muy simple en *S. albarracinus* (Fig. 3b).

La estructura del edeago y del lóbulo medio (Figs. 2b, 3a), la sitúan en las cercanías de *S. micoae* (Fig. 3c), pero está bien diferenciada de ésta por los parámetros más anchos y de contorno apical muy diferente, por el saco interno evaginado provisto de pequeñas piezas y por la estructura del lóbulo medio, aunque también muy compleja, bien diferenciada en su estructura (Figs. 2a, c).

En la misma zona de estudio se ha recolectado *S. franzi* Español, 1969, muy diferenciado de la nueva especie por los caracteres referenciados en la clave específica que se acompaña.

Descripción.

Longitud 2,85 mm. Anchura 1,30 mm. Cuerpo convexo y de contorno subparalelo (Fig. 1); cuerpo, patas y escapo antenal de color castaño rojizo, la cabeza y protórax oscurecidos; palpos labiales y maxilares, funículo y maza antenal testáceos rojizos; pubescencia de la parte superior del cuerpo

doble, de color amarillenta, la erecta no muy larga y más corta la semierecta, la pronotal dirigida hacia los márgenes laterales y la elitral hacia el ápice.

Cabeza grande, casi tan ancha como el ápice pronotal, no excavada por debajo y cubierta en gran parte por el protórax; ojos bien desarrollados, convexos y algo salientes, superficie superior con denso punteado y con tendencia a la reticulación. Antenas de once artejos, con la maza proporcionalmente larga (Fig. 2a); funículo con el primer artejo casi tan ancho como largo, el segundo mucho más largo que ancho, el tercero ligeramente más largo que ancho, y del cuarto al octavo dentados y progresivamente desarrollados lateralmente; la longitud de la suma de los artejos del funículo es menor que la de los artejos de la maza. Último artejo de los palpos maxilares largo, no muy ancho y ligeramente acuminado en el ápice (Fig. 2d). Último artejo de los palpos labiales grueso y casi tan ancho como largo (Fig. 2c).

Protórax transverso, 1,51 veces más ancho que largo, con la máxima anchura en la base, de contorno en línea estrechada de la base al ápice; márgenes laterales visibles por encima sólo en el tercio basal, con el borde bien indicado y explanados desde la parte media hasta los ángulos posteriores, donde se presentan muy anchos; ángulos anteriores agudos pero poco indicados, los posteriores obtusos y algo redondeados; el ápice de contorno ligeramente sinuado y la base sinuada con el lóbulo medio saliente y ampliamente redondeado; superficie con el punteado doble, el grande fosulado, denso y contiguo junto a los márgenes, el pequeño poco indicado y sólo visible entre el mayor en la zona discal.

Escutelo redondeado, tan largo como ancho y con la superficie punteada. Élitros muy anchos, de contorno paralelo en los dos tercios basales y anchamente redondeados en el apical, 1,18 veces más largos que anchos tomados conjuntamente; calo humeral muy indicado; la base tan ancha como la del protórax, finamente bordeada en toda su longitud; ángulos humerales obtusos, redondeados y explanados; todas las estrías, incluida la escutelar, bien impresas por igual, el punteado bien marcado, no desbordando su contorno excepto en las marginales, en las que el punteado es mucho mayor; los intervalos discales y humerales ligeramente convexos, más los marginales, el último intervalo marginal plano y ancho en la mitad apical, superficie con ligeros pliegues horizontales y con el punteado inapreciable.

Procoxas contiguas, diferenciando dorsalmente una superficie transversa y elevada, meso- y metacoxas separadas; mesosternón con un saliente medio longitudinal muy estrecho y largo, lobulado en el medio; metasternón transverso, dos veces más ancho que largo, surcado longitudinalmente en la parte central. Abdomen poco convexo, con el saliente intercoxal del primer esternito redondeado en el ápice y totalmente excavado para la recepción de las patas posteriores en reposo, superficie con el punteado grande y no muy denso, del segundo al cuarto esternito las suturas sinuadas y borradas en la parte central, superficie con el punteado menor y muy denso; la pubescencia corta, amarillenta y muy dispersa. Fémures y tibiae gráciles.

Edeago según Fig. 2b; los parámetros anchos, con el ápice aguzado y con la pubescencia muy corta limitada al borde apical interno y a una placa ventral cerca del ápice; lóbulos pubescentes de los parámetros largos y no muy anchos; placas ventrales situadas cerca del ápice de los parámetros; lóbulo medio bien esclerotizado, de ápice redondeado y provisto de complejas piezas (Figs. 2b, 3a); el saco interno evaginado con un largo mechón apical de pubescencia y con una corona de pequeñas piezas ligeramente esclerotizadas en su parte media.

Hembra desconocida.

Material estudiado.

Holotipus: 1♂, etiquetado: «Iriso (NA) | 2014 Robledal | Trap 31 Pan Window | Recalde - San Martín leg.» «Holotipus | Stagetus | recaldei n. sp. | A. Viñolas det. 2017». Depositado en la colección del autor.

Etimología. Especie dedicada a uno de sus recolectores, J.I. Recalde, en reconocimiento a la labor realizada en el estudio de los coleópteros saproxílicos ibéricos.

Biología. Desconocida, ya que el único ejemplar conocido de la especie fue capturado mediante una trampa de ventana monopanel adosada a un viejo roble. Es de suponer que tiene una biología similar a otras especies del género, como la del *S. elongatus* (Mulsant & Rey, 1861) (Viñolas, 2013).

Distribución. De momento sólo se conoce de la localidad típica de Iriso (Sierra de Gongolaz), Navarra.

Modificación de la clave específica del grupo de *S. byrrhoides*

Se adjunta la clave específica del grupo de *S. byrrhoides* en el área peninsular, especies con calo humeral, clave que modifica la existente en la revisión del género de la Península Ibérica e Islas Baleares de Viñolas (2013) y complementa las de las addendas de Viñolas (2016a, b).

Las figuras en *itálica* corresponden a las representadas en la revisión de Viñolas (2013) y las addendas de Viñolas (2016a, b) y en *negrilla* las de la presente nota.

- | | | |
|---|---|--|
| 1 | Élitros sin calo humeral..... | 2, grupo de <i>S. hirtulus</i>
(Viñolas, 2016a) |
| - | Élitros con calo humeral, más o menos indicado, pero siempre presente..... | 4 |
| 4 | Parámetros del edeago bastante gráciles, con el ápice bífido y el lóbulo pubescente, bastante desarrollado, insertado lateralmente (Figs. 33-34, 38)..... | 5 |
| - | Parámetros del edeago anchos o muy anchos y cortos, con el ápice nunca bífido y el lóbulo pubescente siempre situado en el ápice (Figs. 28, 30, 32, 35-37, 7)..... | 7 |
| 5 | Antenas con el sexto y séptimo artejos poco desarrollados y parecidos (Fig. 26); último artejo de los palpos maxilares según Fig. 14; edeago con los parámetros no muy largos y anchos, lóbulos pubescentes gruesos y situados cerca del ápice (Fig. 38)..... | <i>S. puncticollis</i>
(Reitter) |
| - | Antenas con el séptimo artejo mas desarrollado que el sexto (Figs. 21-22); último artejo de los palpos maxilares según figuras 9-10; edeago con los parámetros largos y gráciles, lóbulos pubescentes gráciles y situados en el tercio apical..... | 6 |
| 6 | Edeago con los parámetros sencillos y el ápice recto, diente apical interno más largo; lóbulos de los parámetros totalmente pubescentes (Fig. 34)..... | <i>S. franzi</i> Español |
| - | Edeago con la parte apical de los parámetros doble y el ápice recurvado, diente apical interno no muy grande; lóbulos de los parámetros con pubescencia sólo en la parte apical (Fig. 35)..... | <i>S. ferreri</i> Español |
| 7 | Funículo de las antenas con los artejos sexto, séptimo y octavo tan anchos como el noveno (Fig. 18); último artejo de los palpos maxilares según Fig. 6; edeago con el lóbulo de los parámetros grande, tan ancho como éstos y prácticamente fusionados, lóbulo medio poco esclerotizado (Fig. 30)..... | <i>S. cobosi</i> Viñolas |
| - | Funículo de las antenas con sólo el octavo artejo tan ancho o casi tan ancho como el noveno (Figs. 16, 19-20, 23-25, 2); último artejo de los palpos maxilares según Figs. 4, 7-8, 11-13, 4; edeago con el lóbulo de los parámetros corto o largo pero siempre más estrecho y bien diferenciado, lóbulo medio bien esclerotizado (Figs. 28, 31-31, 35-37, 7)..... | 8 |

- 8 La suma de los artejos segundo a octavo de las antenas, más larga que el noveno y décimo tomados conjuntamente (Figs. 20, 23)..... 9
- La suma de los artejos segundo a octavo de las antenas, igual o más corta que el noveno y décimo tomados conjuntamente (Figs. 16, 24-25, 2)..... 10
- 9 Antenas con el séptimo artejo del funículo normal (Fig. 20); último artejo de los palpos maxilares según Fig. 8; edeago con los parámetros con un pequeño diente en el ápice, lóbulo de los parámetros poco desarrollado, lóbulo medio con el saco interno, evaginado, inerme (Fig. 32)..... *S. elongatus* (Mulsant & Rey)
- Antenas con el séptimo artejo del funículo ganchudo (Fig. 23); último artejo de los palpos maxilares según Fig. 11; edeago con los parámetros desprovistos de diente apical en el ápice, lóbulo de los parámetros muy desarrollado, lóbulo medio con el saco interno, evaginado, provisto de una corona basal de espinas (Fig. 35)..... *S. maciai* Viñolas
- 10 Élitros con las estrías discales bien indicadas y el punteado desbordando su contorno, las estrías humerales y marginales sólo formadas por puntos gruesos; último artejo de los palpos maxilares según Fig. 12; edeago con el lóbulo medio muy bien caracterizado (Fig. 36)..... *S. micoae* Viñolas
- Élitros con todas las estrías bien indicadas y el punteado pequeño no desbordando su contorno, excepto las marginales; edeago según Figs. 28, 31, 37, 7..... 11
- 11 Talla grande de 2,8 a 3,5 mm; protórax con la superficie fuertemente fosulada reticulada, el punteado pequeño poco visible; edeago según Figs. 7, 2b..... 12
- Talla pequeña de 1,5 a 2,5 mm; protórax con la superficie con punteado doble bien indicado, el mayor nunca fosulado, ni reticulado; edeago según Figs. 28, 31, 37..... 13
- 12 Antenas con los artejos del funículo muy desarrollados (Fig. 2); último artejo de los palpos maxilares según Fig. 4; edeago (Fig. 7) con los lóbulos de los parámetros largos, el lóbulo medio cerrado en el ápice y con una pieza muy esclerotizada en la parte media (Fig. 9), saco interno, evaginado, provisto de pequeños dientes..... *S. albarracinus* Viñolas
- Antenas con los artejos del funículo menos desarrollados (Fig. 2a); último artejo de los palpos maxilares según Fig. 2c; edeago (Fig. 2b) con los lóbulos de los parámetros gráciles y largos, el lóbulo medio abierto en el ápice y provisto de una serie de características piezas (Fig. 3a), saco interno, evaginado, provisto en su parte media de una pequeña serie de piezas poco esclerotizadas..... *S. recaldei* n. sp.
- 13 Antenas poco gráciles, con los artejos noveno y décimo proporcionalmente anchos (Fig. 16); último artejo de los palpos maxilares según Fig. 4; edeago con el lóbulo pubescente de los parámetros muy corto, sin dientes en la parte apical interna de los parámetros, el diente basal medio estrecho y largo (Fig. 28)..... *S. byrrhoides* (Mulsant & Rey)
- Antenas gráciles, con los artejos noveno y décimo proporcionalmente estrechos (Figs. 19, 25); edeago con el lóbulo pubescente de los parámetros largo, con dientes o piezas en la parte apical interna de los parámetros (Figs. 31, 37)..... 14

- 14 Antenas con el cuarto artejo del funículo dentado (Fig. 25); último artejo de los palpos maxilares según Fig. 13; edeago con dientes en la parte apical interna de los parámetros, el diente basal medio ancho y corto, el saco interno, evaginado, inerme (Fig. 37)..... *S. pilula* (Aubé)
- Antenas con el cuarto artejo del funículo no dentado (Fig. 19); último artejo de los palpos maxilares según Fig. 7; edeago con piezas en el ápice de los parámetros, el saco interno, evaginado, provisto de una corona de espinas, el lóbulo medio con dos piezas similares a las de los parámetros (Fig. 31)..... *S. confusus* Viñolas

Ernobius nigrinus (Sturm, 1837)

- Byrrhus mollis* Geoffroy, 1785. In: Fourcroy, A.F. de: *Entomologia parisiensis*: 26
- Anobium nigrinum* Sturm, 1837. *Deutschland Insekten, Käfer*. Vol. 11: 126
- Anobium politum* Redtenbacher, 1849. *Fauna Austriaca*: 346 (non Duftschmid, 1825)
- Liozoum fuscum* Mulsant & Rey, 1863. *Opuscules Entomologiques*, 13: 131
- Liozoum nigrinum* (Sturm): Mulsant & Rey, 1863. *Opuscules Entomologiques*, 13: 133
- Ernobius canaliculatus* C.G. Thomson, 1871. *Opuscula Entomologica*, 4: 380
- Ernobius nigrinus* (Sturm): Kiesenwetter, 1877. *Naturgeschichte der Insecten Deutschlands*: 129
- Ernobius fuscus* (Mulsant & Rey): Kiesenwetter, 1877. *Naturgeschichte der Insecten Deutschlands*: 129
- Ernobius pueli* Lavagne, 1914. *Bulletin de la Société entomologique de France*: 137
- Ernobius pueli* var. *berardi* Lavagne, 1914. *Bulletin de la Société entomologique de France*: 137
- Ernobius pallidipennis* var. *mayeti* Pic, 1914. *L'Échange, Revue Linnéenne*, 30: 27
- Ernobius nigrinus* var. *rufescens* Pic, 1916. *L'Échange, Revue Linnéenne*, 32: 3 (nota)
- Ernobius nigriclava* Roubal, 1917. *Archiv für Naturgeschichte*, A 82(3) (1916): 51

Material estudiado.

1♂, etiquetado: « Iriso (NA) | 2014 Robledal | Trap 8 Cross Window | Recalde - San Martín leg.» «*Ernobius* | *nigrinus* | (Sturm, 1837) | A. Viñolas det. 2017». Depositado en la colección del autor.

Especie bien caracterizada por los siguientes caracteres (Fig. 4): cuerpo de color más o menos negruzco; antenas con la suma de los artículos sexto al octavo del funículo más corta que la longitud del noveno que es igual a la suma de los ocho primeros artículos (Fig. 5a); protórax provisto de una depresión basal transversa; élitros sin o con sólo indicios de depresión basal en la zona humeral; protórax y élitros con la granulación fina y espaciada; protibias de contorno recto; superficie dorsal del cuarto artejo de los metatarsos escotado en su mitad apical; edeago en visión ventral según Fig. 4b, se han representado por separado el parámetro izquierdo y el lóbulo medio (Fig. 5c, d), ya que existen numerosas representaciones más o menos inexactas del edeago que pueden inducir a errores de interpretación (Johnson, 1975; Español, 1992; Laclos & Büche, 2009; Zahradník, 2013).

Distribución. Especie de amplia distribución europea, citada de Alemania, Austria, Armenia, Azerbaijón, Bélgica, Bielorrusia, Bosnia, Bulgaria, Croacia, Dinamarca, Eslovaquia, Eslovenia, España, Estonia, Finlandia, Francia, Georgia, Gran Bretaña, Grecia, Holanda, Hungría, Italia, Letonia, Lituania, Noruega, Polonia, República Checa, Rumanía, Rusia, Suecia, Suiza, Turquía y Ucrania (Zahradník, 2007). En dicho Catálogo Paleártico, el autor la cita de las Islas Canarias, localización poco creíble, como muchas de sus citas, ya que la única especie del género localizada en las islas de Gran Canaria, La Palma y Tenerife es *E. mollis espanoli* Johnson, 1975 (Español, 1964; Johnson, 1975; Machado & Oromí, 2000).

En la Península Ibérica sólo se conocía del noreste español: Huesca (Valle de Hecho-Selva de Oza), La Rioja (Lumbreras-Parque Natural Sierra de Cebollera) y Lleida (Àger), localidades a las que se puede añadir la de Navarra (Iriso) (Español, 1977, 1992; Pérez Moreno & Moreno Grijalba, 2009). Aunque Español (1992) la cita de la comarca del Berguedà, los ejemplares que hemos localizado en la colección del Museu de Ciències Naturals de Barcelona proceden de Àger, comarca de la Noguera.

Biología. Se desarrolla en las ramas delgadas de *Pinus cembra* L., *P. sylvestris* L., *P. uncinata* Raymond ex A.DC. y *Picea abies* (L.) H. Karst., después del ataque primario a las mismas por especies de Curculionidae de los géneros *Magdalis* Germar, 1817 e *Hylastes* Erichson, 1836.

***Ozognathus cornutus* (LeConte, 1859)**

Anobium cornutum LeConte, 1859. *Proceedings of the Academy of Natural Sciences of Philadelphia*, 11: 87

Ozognathus misellus LeConte, 1865. *Proceedings of the Academia of Natural Sciences of Philadelphia*, 17: 226

Material estudiado.

1♂, etiquetado: «22/28-III-2017, Barranco de las Angustias, 28RBS1373, Puerto de Tazacorte, La Palma, Canary Islands, M. Roca-Cusachs leg.» «*Ozognathus cornutus* (LeConte, 1859), A. Viñolas det. 2017». Depositado en la colección del autor.

El género *Ozognathus* LeConte, 1861 cuenta con unas doce especies conocidas, todas ellas descritas del continente americano (White, 1974). *O. cornutus* (LeConte, 1859) se caracteriza por poseer el macho unos característicos cuernos situados sobre el epistoma y dos pequeños tubérculos en la frente (Fig. 6a, b), y por la conformación de su edeago (Fig. 7).

Distribución. Especie descrita de California, se conoce del sudoeste americano y zonas adyacentes de México (White, 1982). Introducida y citada de Alemania (Tübingen), Letonia (alrededores de Ulbroka), Madeira (Funchal) y Nueva Zelanda. En la región mediterránea se ha localizado en el sur de España (Cádiz: Los Barrios, San Fernando), sur de Francia (Pourcieux), Gibraltar, Malta (Marsa, Tal-Muxar, Żejtun), Sicilia y Túnez (Isla de Djerba) (Bercedo *et al.*, 2005; Zahradník & Mifsud, 2005; Allemand *et al.*, 2008; Viñolas & Verdugo, 2012; Cusimano *et al.*, 2015; Telnov *et al.*, 2016; GONHS, 2017). En Sudamérica se ha localizado recientemente en Chile (Honour & Rothmann, 2017). La cita de la isla de La Palma es la primera introducción conocida de la especie en las Islas Canarias.

Biología. Citada de Norteamérica en los tallos muertos de las flores y pequeñas ramas secas de la Lauraceae *Persea americana* Mill., en la Asteraceae *Baccharis pilularis* D. Candolle, en las agallas producidas por lepidópteros Gelechiidae del género *Gnorimoschema* Busck, 1900 y en corteza de pino (White, 1974). En México (obs. pers.) se ha localizado en agallas de *Quercus crassipes* Bonpl. y *Q. obtusata* Bonpl. producidas por los himenópteros Cynipidae *Melikaiella bicolor* Pujade-Villar, 2014 y del género *Disholcaspis* Dalla Torre & Kieffer, 1910. De Cádiz, por emergencia en laboratorio de madera y tejido vegetal de *Ficus carica* L., *Foeniculum vulgare* Mill., *Quercus suber* L., *Retama monosperma* (L.) Boiss., *Scolymus hispanicus* L. y Asteraceae del género *Carduus* L. (Bercedo *et al.*, 2005). De Francia, en los frutos secos de *Prunus amygdalus* (Mill.) D.A. Webb. (Allemand *et al.*, 2008).

Agradecimientos

Se agradece a J.I. Recalde y A.F. San Martín, de Navarra, la cesión para estudio de parte de los Ptinidae recolectados en Iriso. A Marcos Roca-Cusachs, de Barcelona, la cesión para estudio de los coleópteros recolectados en las campañas realizadas en las Islas Canarias para el estudio de heterópteros. A Juli Pujade-Villar, de la Universidad de Barcelona, la colaboración en el estudio de los coleópteros que habitan las agallas de Cynipidae. A Glòria Masó y Berta Caballero, del Museu de Ciències Naturals de Barcelona, el habernos permitido consultar la colección de Ptinidae de la institución. A Josep Muñoz, de Girona, el asesoramiento y revisión de del presente artículo.

Bibliografía

Allemand, R.; Laclos, É. de; Büche, B. & Ponel, P. 2008. Anobiidae nouveaux ou méconnus de la faune de France (3^e note) (Coleoptera). *Bulletin de la Société entomologique de France*, 113(3): 397-402.

- Bercedo, P.; Arnáiz, L.; Coello, P. & Baena, M. 2005. *Ozognathus cornutus* (LeConte, 1859), nuevo anóbido para la fauna Ibérica (Coleoptera: Anobiidae). *Boletín de la Sociedad Entomológica Aragonesa*, **37**: 213-214.
- Cusimano, C.; Cerasa, G.; Lo Verde, G. & Massa, B. 2014. *Ozognathus cornutus* (LeConte, 1859) (Coleoptera Anobiidae), new record for Italy. *Il Naturalista siciliano, N. S.*, **38**(1): 131-132.
- Español, F. 1964. Notas sobre Anóbidos. XI. Los anóbidos de las Islas Canarias. XII. *Afropetalium* nuevo género de Dorcatominae del África tropical. XIII. *Xestobium austriacum* Reitt. en los Cárpatos rusos. XIV. Adiciones al catálogo de anóbidos de Marruecos. *Publicaciones del Instituto de Biología Aplicada de Barcelona*, **37**: 95-121.
- Español, F. 1969. Notas sobre anóbidos. 35: Los *Stagetus* Woll. del Mediterráneo occidental. *Eos*, **44**: 105-119.
- Español, F. 1977. Los *Ernobius* Thoms. de la fauna española (Col. Anobiidae, nota 77). *Publicaciones del Departamento de Zoología de la Universidad de Barcelona*, **2**: 19-28.
- Español, F. 1992. *Coleoptera, Anobiidae*. En: *Fauna Ibérica*, vol. 2, Ramos, M.A. et al. (eds.). Museo Nacional de Ciencias Naturales. CSIC. Madrid. 195 pp.
- GONHS (Gibraltar Ornithological and Natural History Society), 2017. Provisional List of the Coleoptera of Gibraltar. Disponible en: <https://www.gonhs.org/list/coleoptera> (Consultado: 20-IX-2017)
- Honour, R. & Rothmann, S. 2017. Primer registro de *Ozognathus cornutus* (Le Conte, 1859) (Coleoptera: Ptinidae) para Chile. *Biodiversity and Natural History*, **3**(1): 12-14.
- Johnson, C. 1975. A review of the Palearctic species of the genus *Ernobius* Thomson. *Entomologische Blätter*, **71**(2): 65-93.
- Laclos, E. & Büche, B. 2009. La Vrilllette sans peine: troisième note (Coleoptera Anobiidae). *L'Entomologiste*, **65**(1): 13-20.
- Machado, A. & Oromí, P. 2000. *Elenco de los coleópteros de las Islas Canarias*. Instituto de estudios canarios. La Laguna. 306 pp.
- Outerelo, R.; Gamarra, P.; San Martín, A.F. & Recalde, J.I. 2016. Estudio de los estafilínidos de un viejo robledal submediterráneo de Navarra (norte de España) (Coleoptera, Staphylinidae). *Boletín de la Real Sociedad Española de Historia Natural, Sección Biológica*, **110**: 33-46.
- Pérez Moreno, I. & Moreno Grijalba, F. 2009. *Los coleópteros saproxílicos del Parque Natural Sierra de Cebollera (La Rioja)*. Colección Ciencias de la Tierra 28. Instituto de Estudios Riojanos. Logroño. 180 pp.
- Telnov, D.; Bukejs, A.; Gailis, J.; Kalniņš, M.; Kirejtshuk, A.G.; Piterāns, U. & Savich, F. 2016. Contributions to the knowledge of Latvian Coleoptera. 10. *Latvijas Entomologs*, **53**: 89-121.
- Viñolas, A. 2013. Els Dorcatominae de la península Ibèrica i illes Balears. 3a nota. El gènere *Stagetus* Wollaston, 1861, amb la descripció de *S. confusus* n. sp. (Coleoptera: Ptinidae). *Orsis*, **27**: 95-121.
- Viñolas, A. 2016a. Un nuevo *Stagetus* Wollaston, 1861 de Castellón, Península Ibérica (Coleoptera: Ptinidae: Dorcatominae). *Archivos Entomológicos*, **15**: 57-64.
- Viñolas, A. 2016b. Una nueva especie del género *Stagetus* Wollaston, 1861 de Teruel, Península Ibérica (Coleoptera: Ptinidae: Dorcatominae). *Archivos Entomológicos*, **16**: 151-158.

Viñolas, A. & Verdugo, A. 2012. Nuevas citaciones de anóbidos para la provincia de Cádiz (Coleoptera: Bostrichoidea). *Butlletí de la Societat Catalana d'Història Natural*, **75** (2010-2011): 129-137.

White, R.E. 1974. Type-species for World genera of Anobiidae (Coleoptera). *Transactions of the American Entomological Society*, **99**(4): 415-475.

White, R.E. 1982. *A catalog of the Coleoptera of America, north of Mexico. Family Anobiidae*. United States Department of Agriculture. Agriculture Handbook Number 529-70. i-xi + 58 pp.

Zahradník, P. 2007. *Ptinidae (excepto subfamilias Gibbiinae y Ptininae)*, pp. 339-362. In: Löbl, I. & Smetana, A. (eds.). *Catalogue of Palaearctic Coleoptera. Vol. 4*. Apollo Books. Stenstrup. 935 pp.

Zahradník, P. 2013. *Beetles of the family Ptinidae of Central Europe*. Academia. Praha. 349 pp.

Zahradník, P. & Mifsud, D. 2005. *Ozognathus cornutus* (LeConte) - new record for the Palaearctic Region (Coleoptera: Anobiidae). *Studies and reports of District Museum Prague-East Taxonomical Series*, **1**(1-2): 141-143.



Fig. 1. - Holotipus ♂ de *Stagetus recaldei* n. sp., de Iriso, Navarra. Escala = 1 mm.

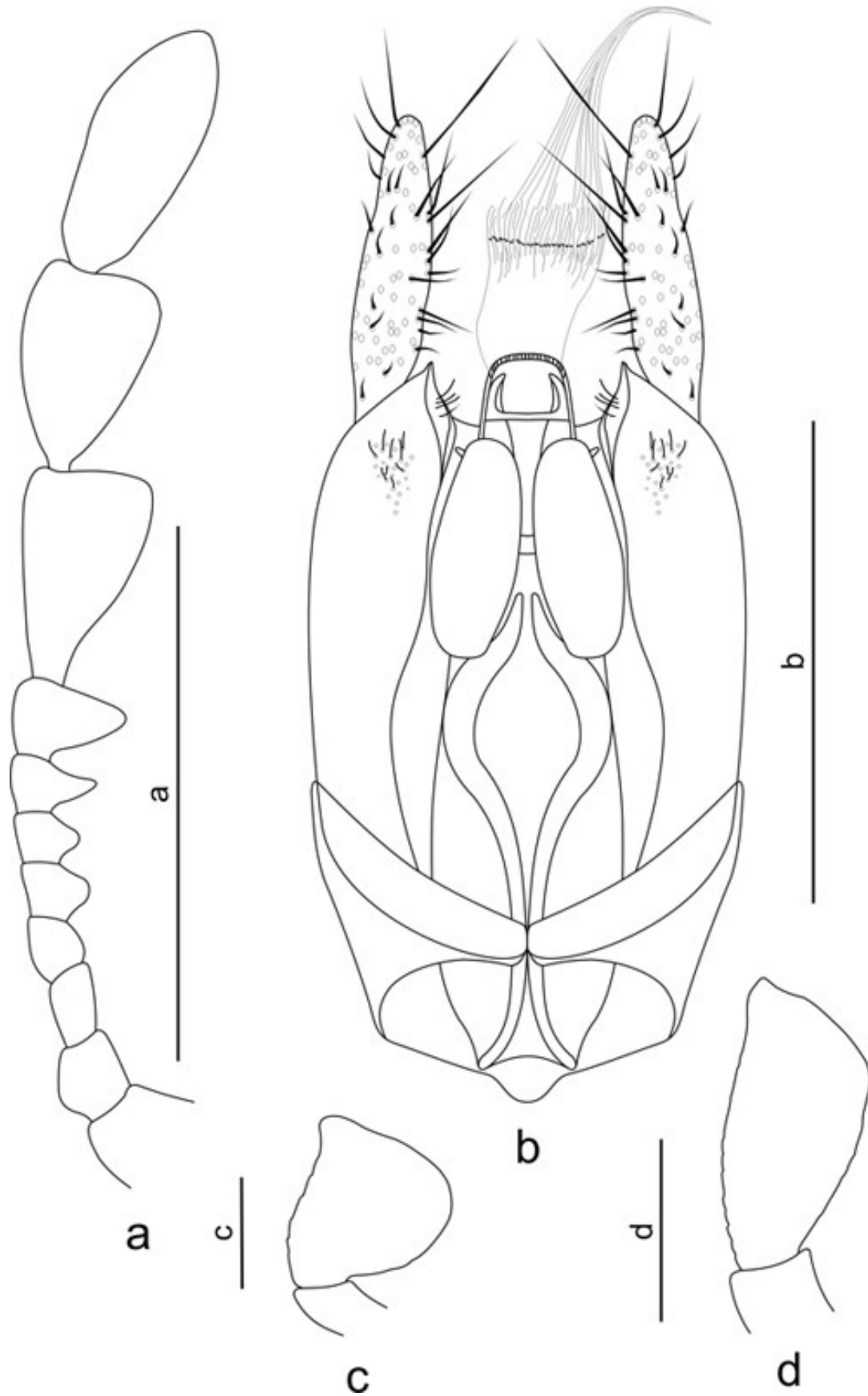


Fig. 2.- *Stagetus recaldei* n. sp. ♂. a.- Antena. b.- Edeago en visión ventral. c.- Último artejo del palpo labial. d.- Último artejo del palpo maxilar. Escalas: a = 0,5 mm; b = 0,2 mm; c = 0,05 mm; d = 0,1 mm.

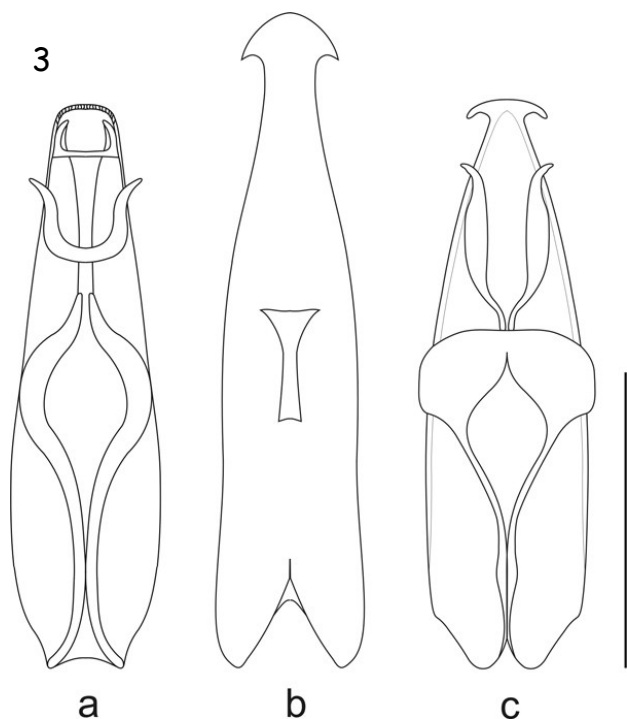


Fig. 3.- Detalle del lóbulo medio del eedeago en visión ventral de:

- a.- *Stagetus recaldei* n. sp.
- b.- *S. albarracinus* Viñolas, 2016.
- c.- *S. micoae* Viñolas, 2011.

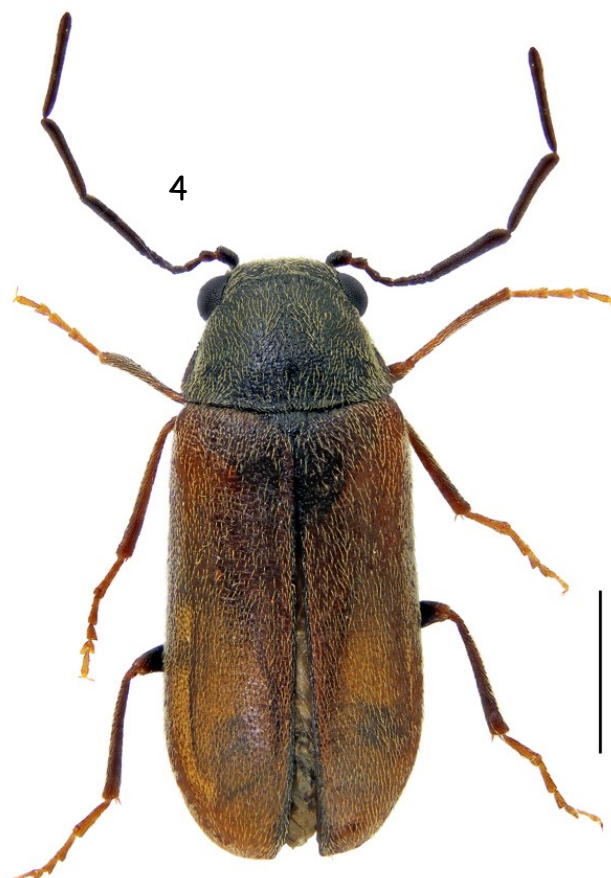
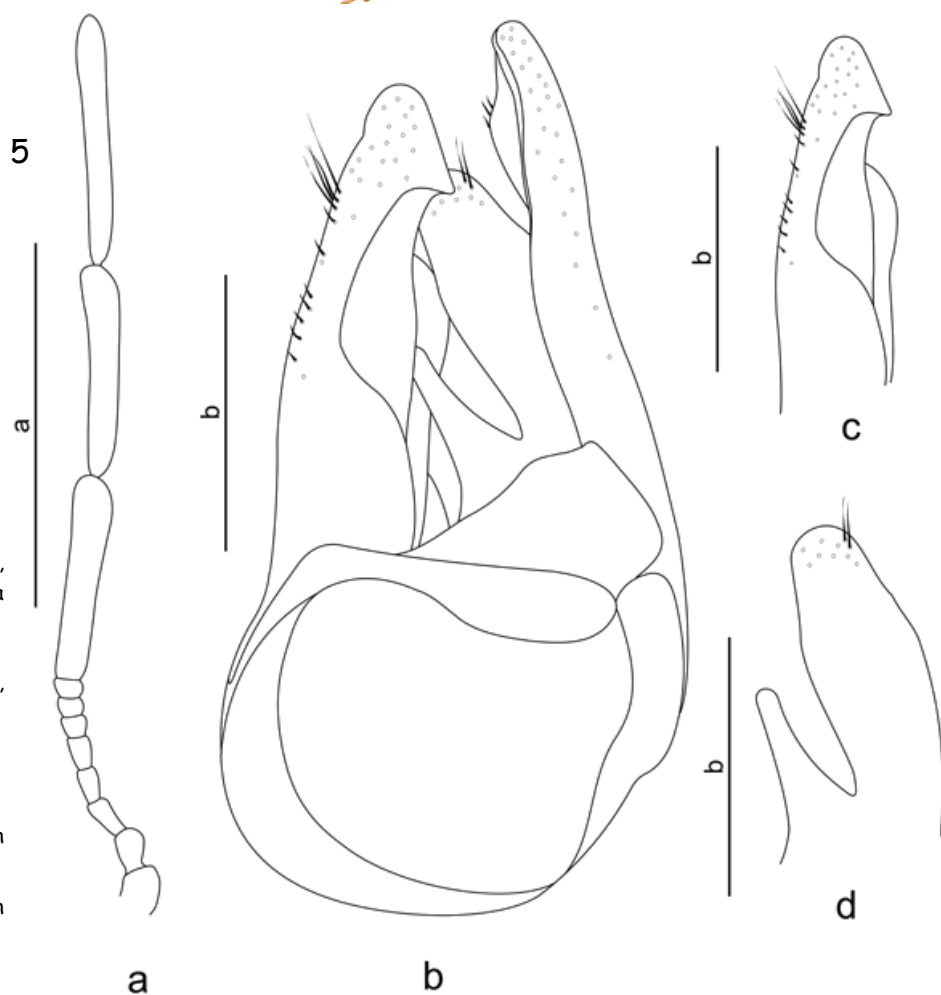


Fig. 4.- *Ernobius nigrinus* (Sturm, 1837), ♂, de Iriso, Navarra. Escala = 1 mm.

Fig. 5.- *Ernobius nigrinus* (Sturm, 1837), ♂:

- a.- Antena.
- b.- Eedeago en visión ventral.
- c.- Parámetro izquierdo en visión ventral.
- d.- Lóbulo medio en visión ventral.

Escalas: a = 1 mm; b = 0,2 mm.



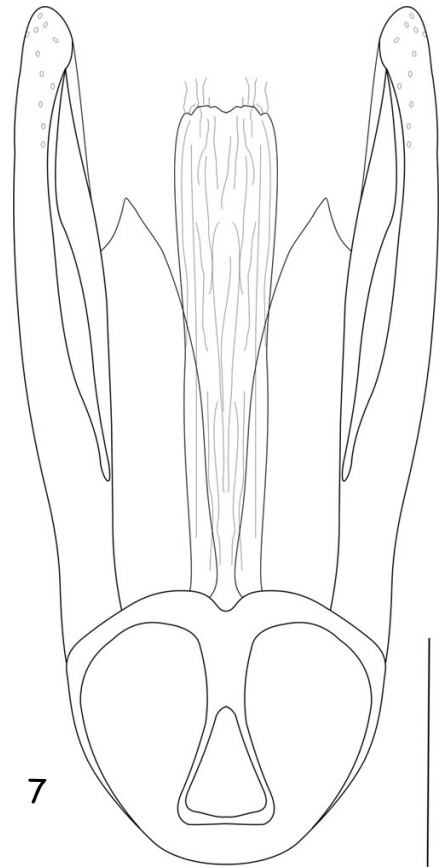


Fig. 6.- *Ozognathus cornutus* (LeConte, 1859), detalle de la cabeza del macho.

a.- En visión frontal.

b.- En visión lateral.

b Fig. 7.- *Ozognathus cornutus* (LeConte, 1859), edeago en visión ventral. Escala = 0,05 mm.



Mapa 1.- Localidad típica de *Stagetus recaldei* n. sp., Sierra de Gongolaz, Iriso, Navarra, 725 m, 30TXN3134.